

AULA 3

CAPÍTULO 3

EPIDERMIS

EPIDERME

- Origem
- Uni ou pluriseriada
- Função
- Características
 - Células vivas
 - Vacuoladas
 - Justapostas
 - Aclorofiladas , em sua maioria
 - Apresenta anexos



Figura 3.1 - Vista frontal da face abaxial da epiderme da folha de *Impatiens* sp., evidenciando-se um estômato anomocítico.

ANOMOCÍTICO = Estômato envolvido por um número variável de células, que não se diferem das outras epidérmicas



Figura 3.2 - Vista frontal da face abaxial da epiderme da folha de *Tradescantia* sp., evidenciando-se um estômato tetracítico.

TETRACÍTICO = Quatro células subsidiárias, sendo duas paralelas às células guardas e as duas restantes não.



Figura 3.3 - Estômato com células-guarda em forma de halteres da folha de uma Poaceae.



ANISOCÍTICO = Estômato
envolvido por três células
subsidiárias, que podem ser de
tamanhos diferentes

20µm

Figura 3.4 - Vista frontal da face abaxial da epiderme da folha de *Begonia* sp., evidenciando-se um estômato anisocítico



Figura 3.5 - Vista frontal da face abaxial da epiderme da folha de *Glycine max*, evidenciando-se um estômato paracítico.



DIACÍTICO = Estômato envolvido por duas células anexas, de forma que seus eixos formam um ângulo reto com a fenda estomática

Figura 3.6 - Vista frontal da face abaxial da epiderme da folha de *Alternanthera philoxeroides*, evidenciando-se um estômato diacítico.

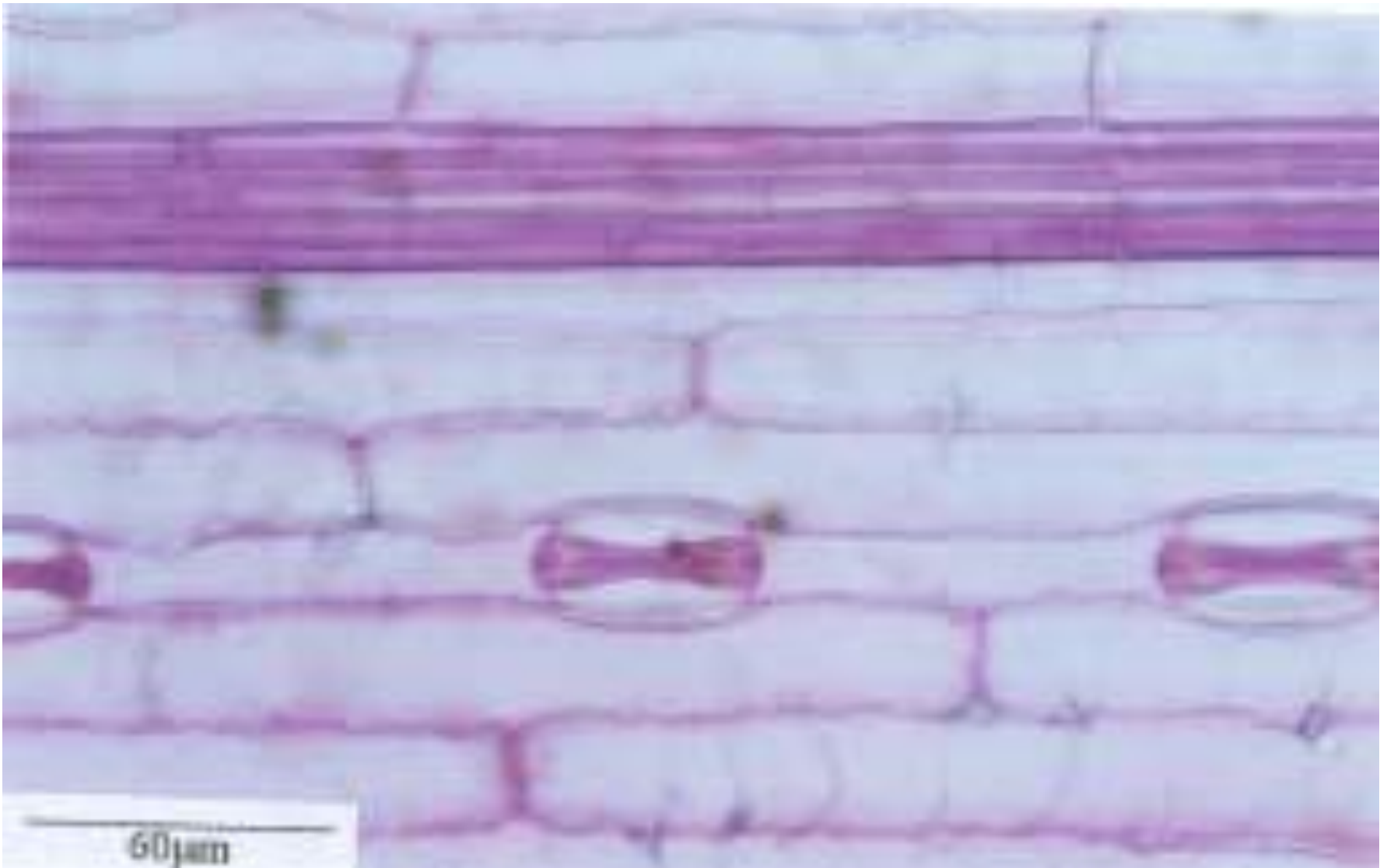


Figura 3.7 - Vista frontal da face abaxial da epiderme da folha de uma Poaceae, evidenciando-se estômatos em halteres.

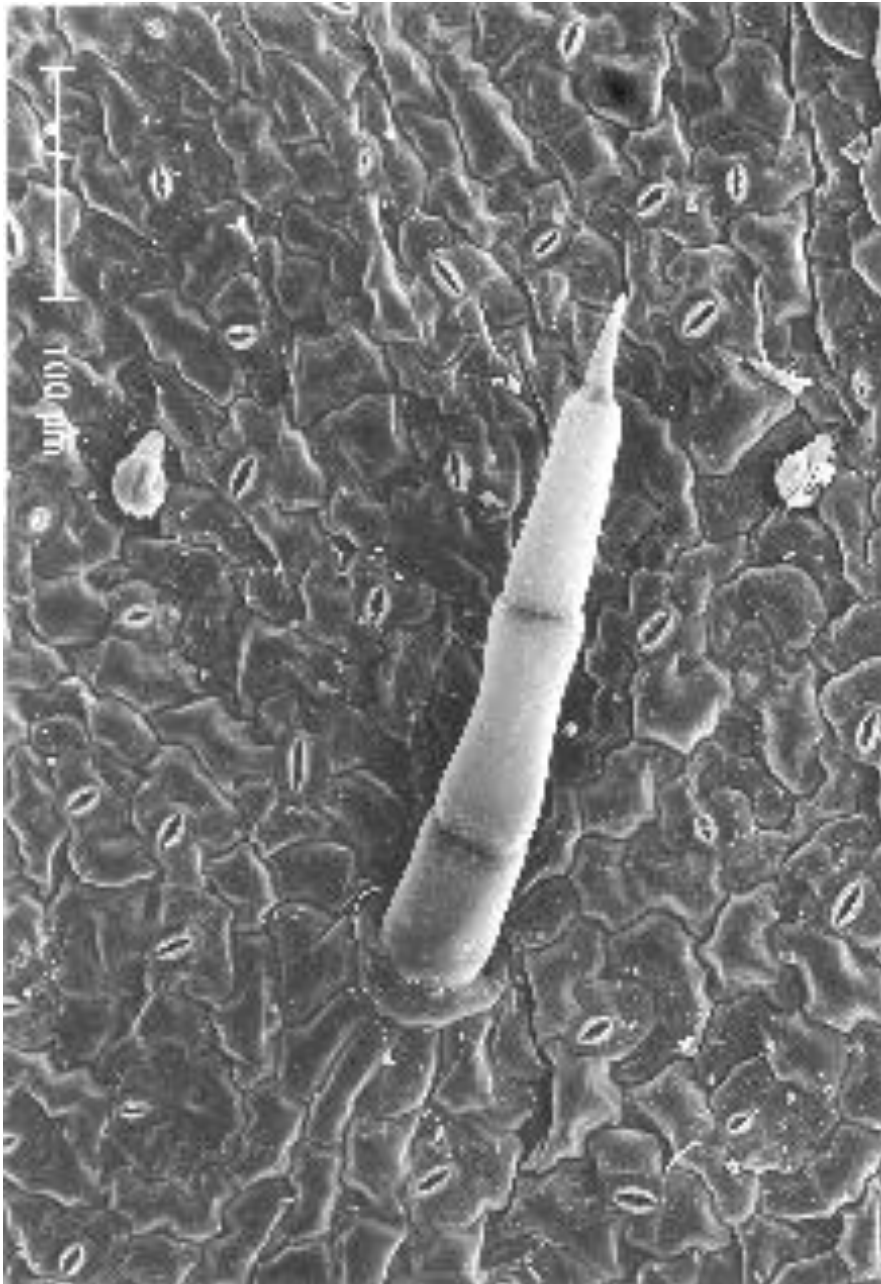


Figura 3.8 - Vista frontal da face abaxial da epiderme da folha de *Plantago major*, evidenciando-se um tricoma tector pluricelular unisseriado.

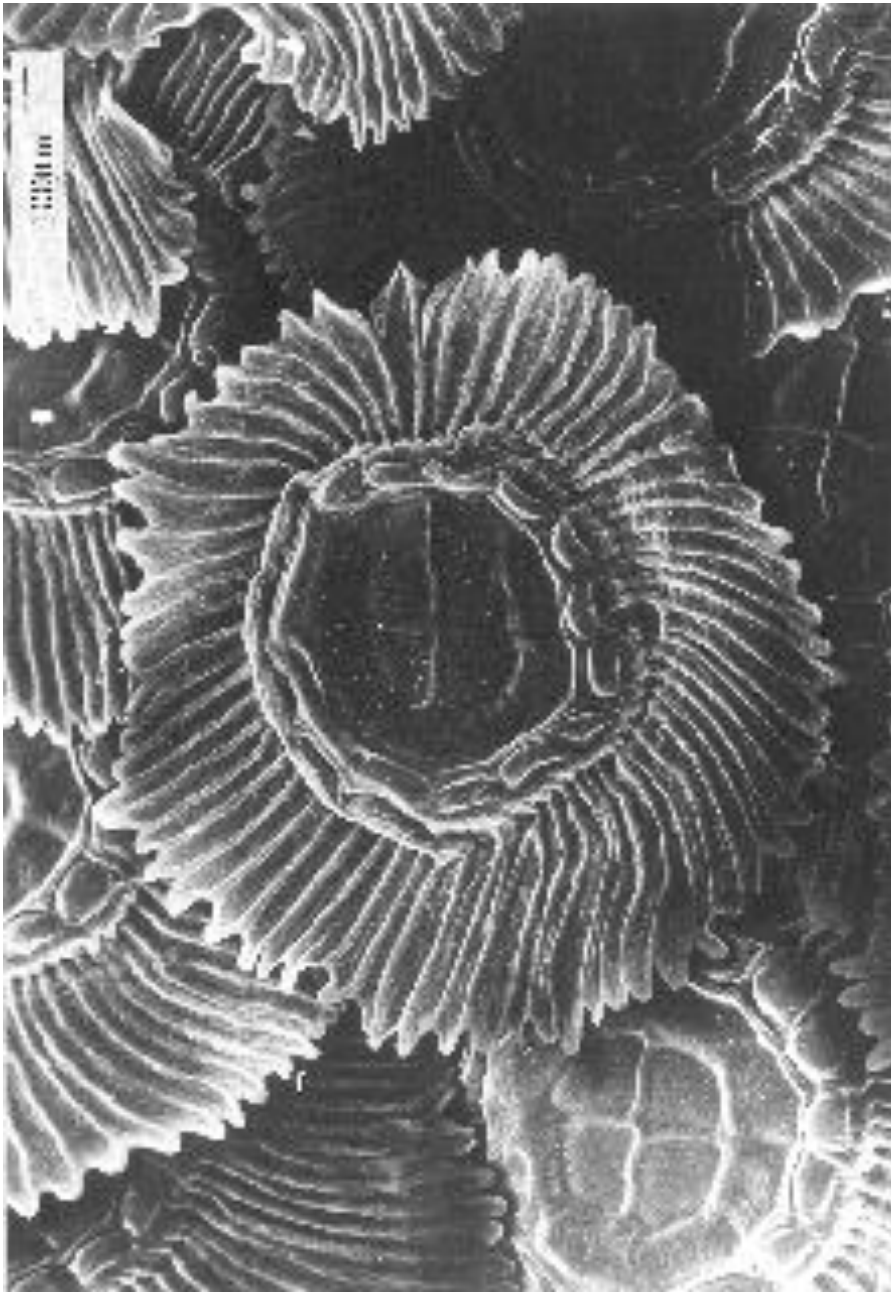


Figura 3.9 - Vista frontal de tricoma escamiforme de *Tillandsia* sp.

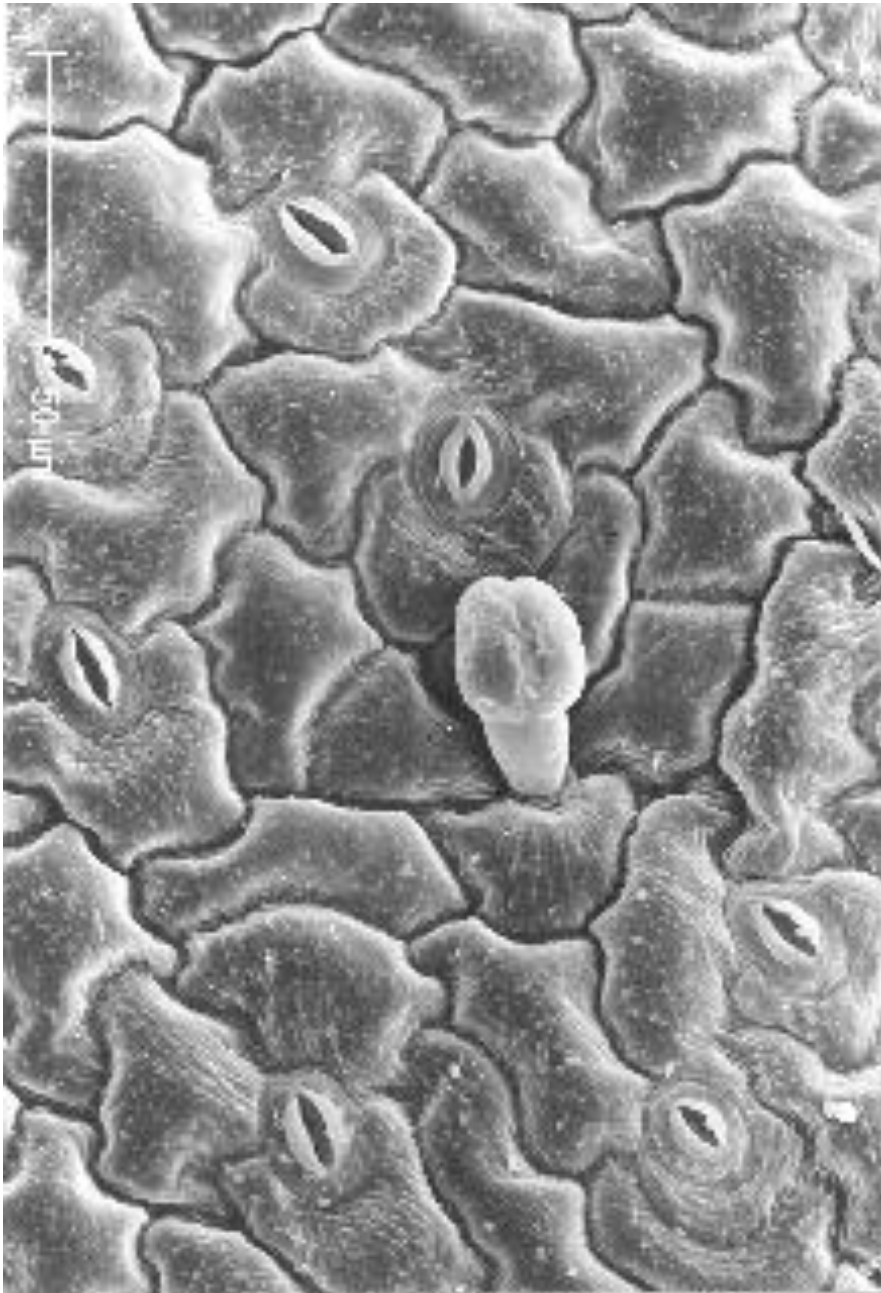


Figura 3.10 - Vista frontal da face abaxial da epiderme da folha de *Plantago major*, evidenciando-se um tricoma glandular.

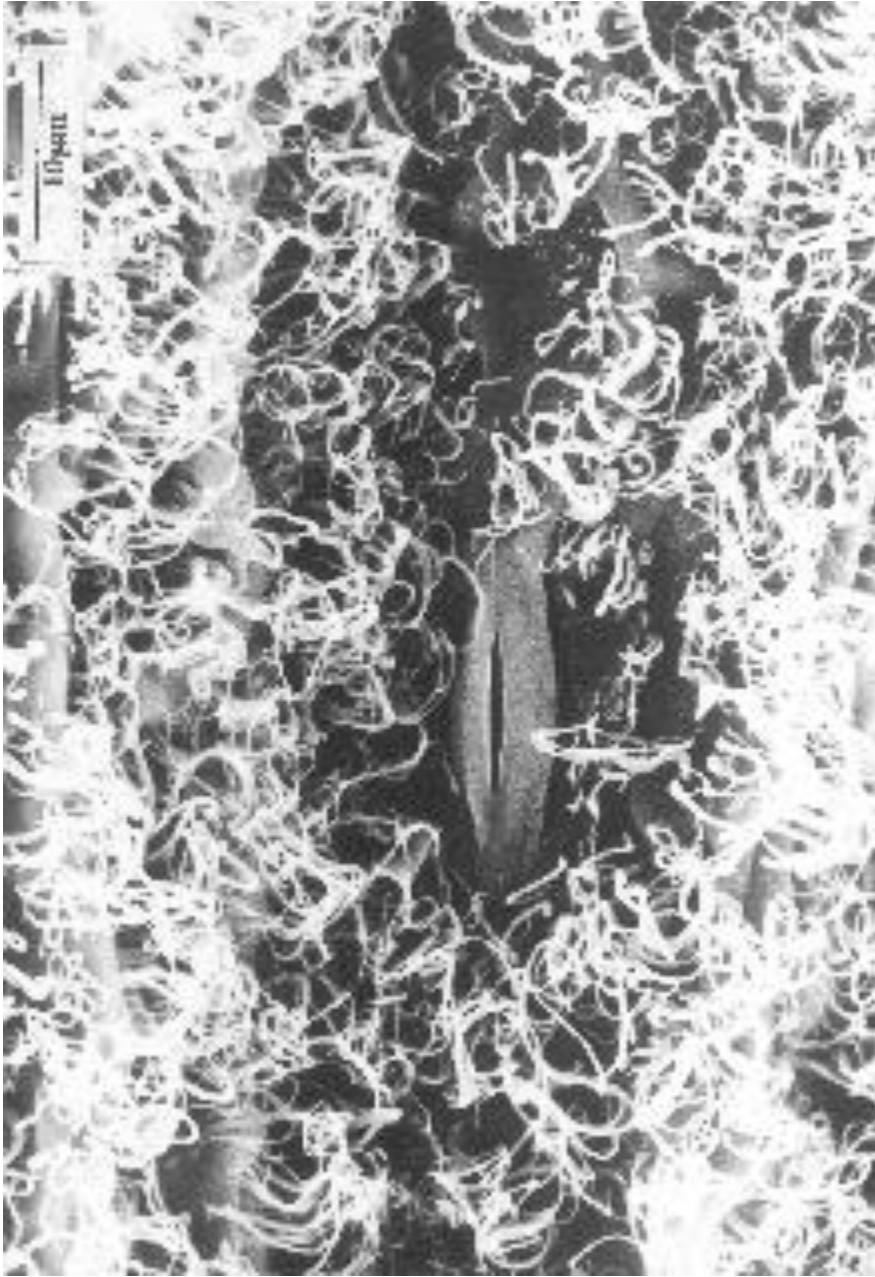


Figura 3.11 - Vista frontal da face abaxial da epiderme da folha de *Musa rosacea*, evidenciando-se um estômato e cera epicuticular.

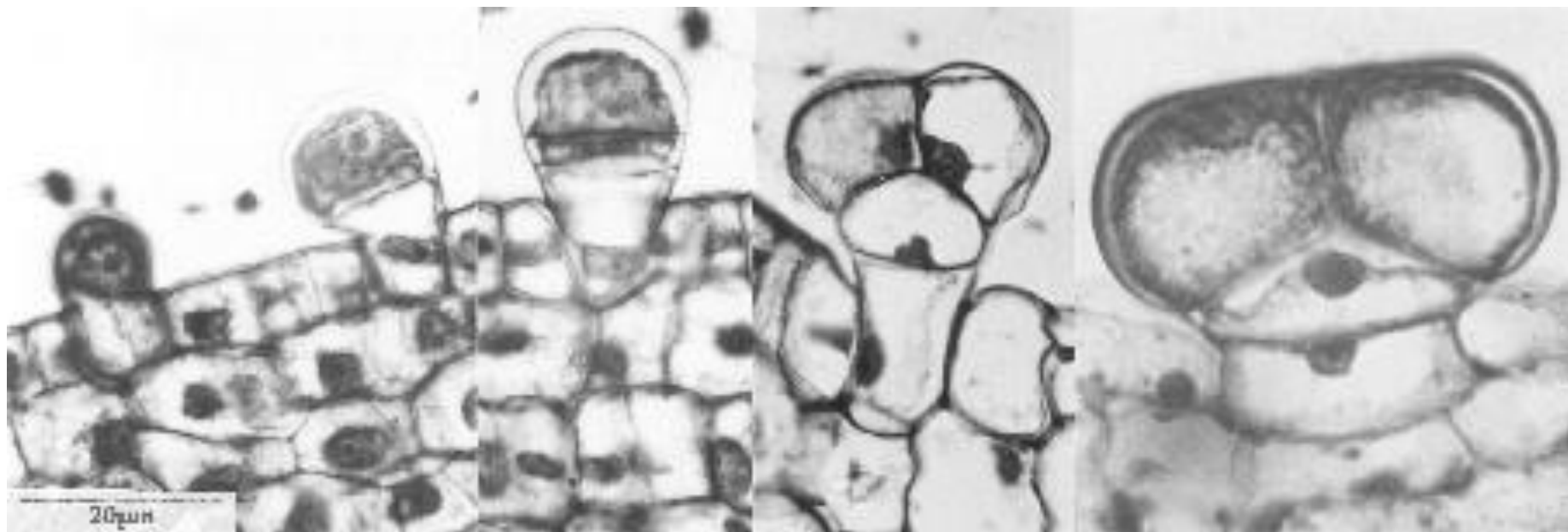


Figura 3.15 - Diferentes fases da ontogênese do tricoma glandular de *Bacopa monnierioides*.

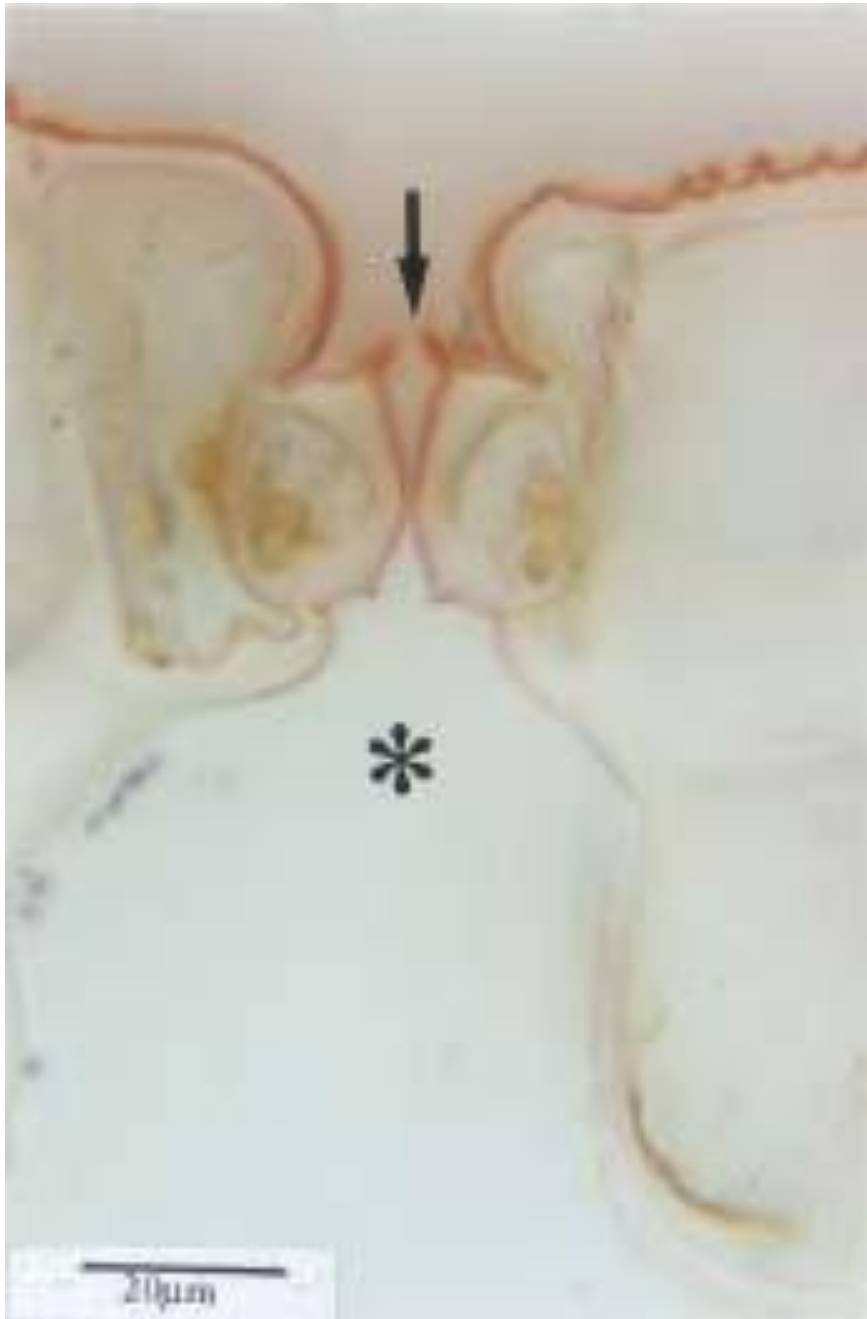


Figura 3.16 - Estômato do caule de *Bacopa monnierioides*, em seção transversal. (seta) crista estomática; (*) câmara subestomática.

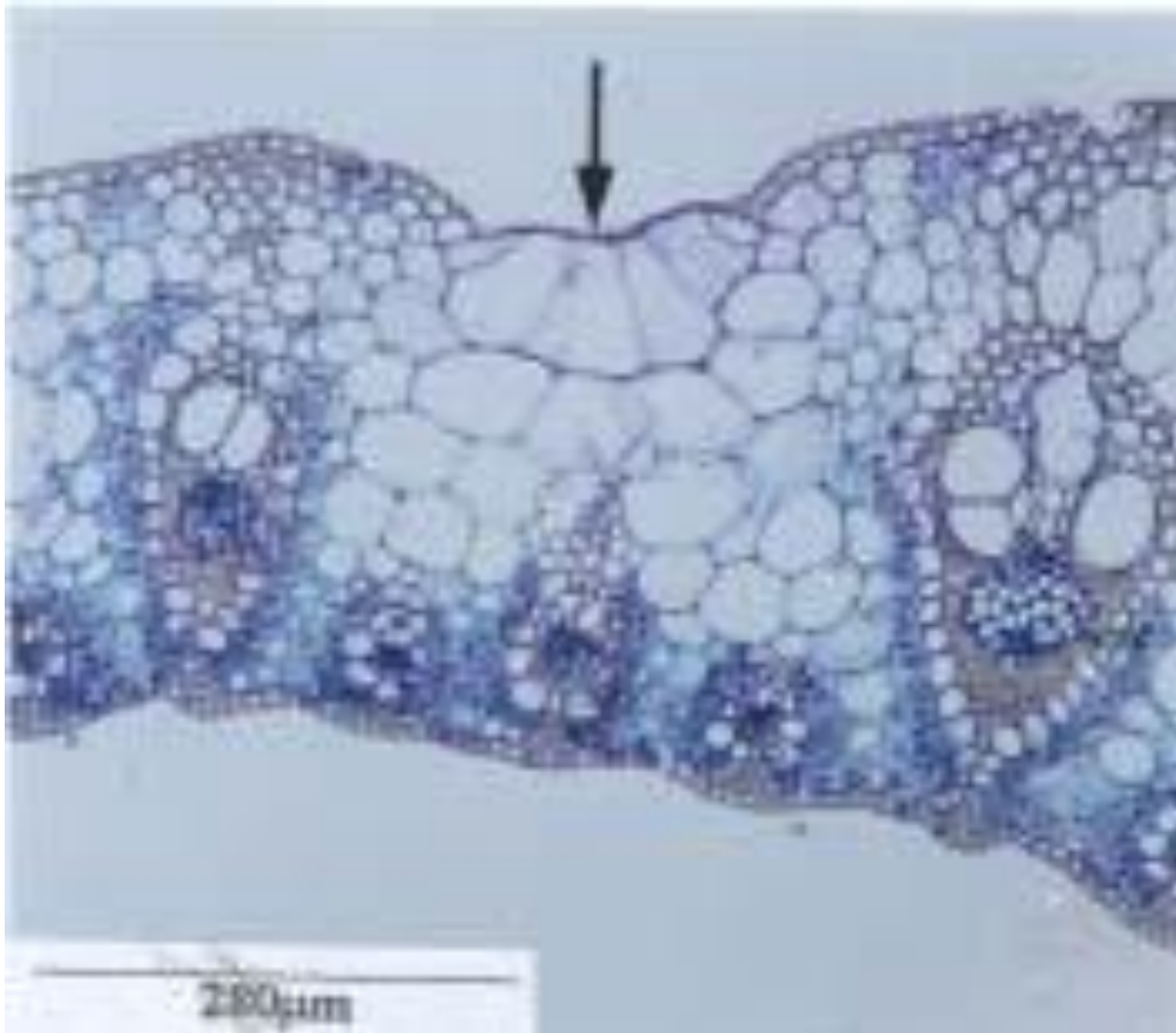


Figura 3.17 - Seção transversal da folha de *Saccharum* sp., observando-se a face adaxial da epiderme com células buliformes (seta).

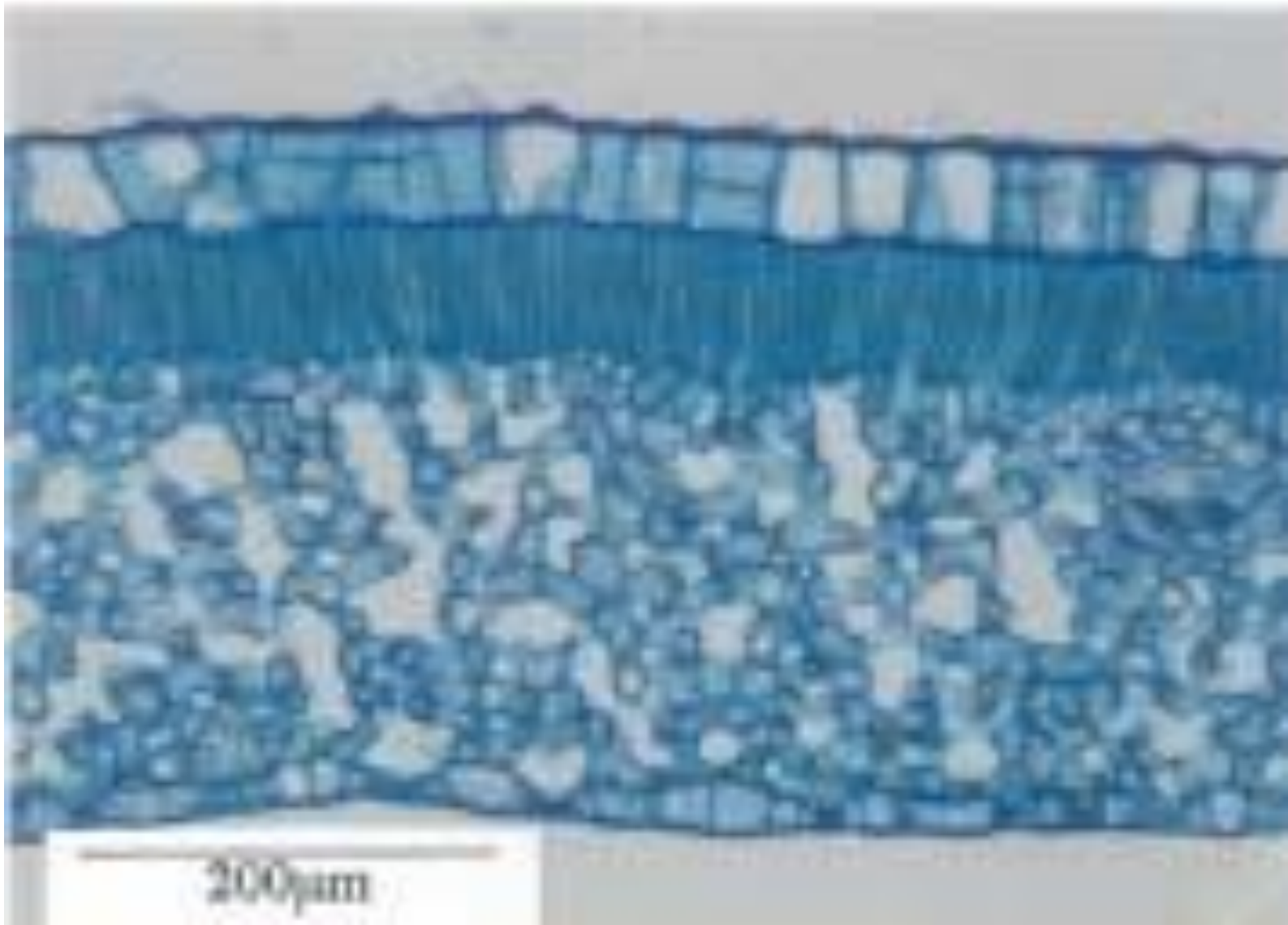
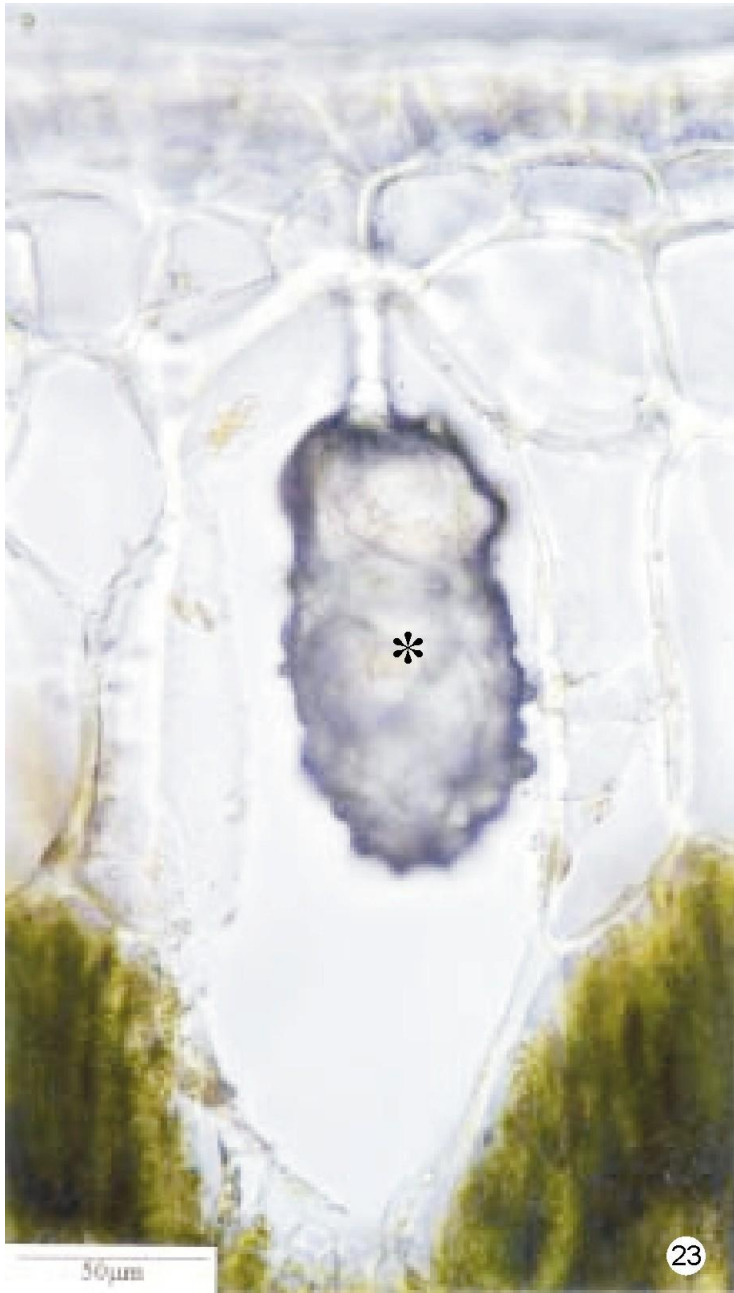


Figura 3.18 - Seção transversal da folha de *Palicourea rigida*, evidenciando-se a face adaxial da epiderme, bisseriada.



Figura 3.19 - Seção transversal do caule de *Bacopa monnierioides*, evidenciando-se a epiderme com cutícula e estratos cuticulares estriados (seta).



Figuras 3.22 e 3.23 - Seções transversais da folha de *Ficus elastica*, evidenciando-se litocistos com cistólitos (*) na face adaxial da epiderme, multisseriada (EP).



Figura 3.25 - Vista frontal da face abaxial da epiderme da folha de uma Poaceae, evidenciando-se célula silicosa (seta).

CONSIDERAÇÕES

FINAIS